



Incrocio Dalmasso XII/40

Carlomagno A., Ferrandino A., Ruffa P., Schneider A., Novello V. (2014) – Incrocio Dalmasso XII/40. In: Italian Vitis Database, www.vitisdb.it, ISSN 2282-006X

release 13/07/2015, ultimo aggiorn. 13/07/2015 url <http://vitisdb.it/varieties/show/1191>

Informazioni generali gestite da

Dipartimento di Scienze Agrarie, Forestali e Alimentari - Università degli Studi di Torino

Ringraziamenti

Ager-IVD; Istituto di Istruzione Superiore di Stato 'Umberto I' – Alba (CN)

Informazioni botaniche

nome Incrocio Dalmasso XII/40
tipo di origine incrocio intraspecifico
specie Vitis vinifera
gruppo di varietà Neutre

genere Vitis
sottospecie sativa
vitigno da vino
breeder Giovanni Dalmasso
istituzione ibridatore Università di Torino
anno di incrocio 1938
anno di selezione non disponibile

trueeness to type accertato con rilievi morfologici e microsatelliti
codice IVD-var_297

True-name

confermato **si**

Registrazione

iscritto al Registro Nazionale delle Varietà di Viti **no**

Sinonimi

nessun sinonimo disponibile per Incrocio Dalmasso XII/40

Accessione principale

accessione principale Incrocio Dalmasso XII/40
componente che l'ha inserita Dipartimento di Scienze Agrarie, Forestali e Alimentari - Università degli Studi di Torino

Accessioni standardizzate (1)

- Incrocio Dalmasso XII/40 - Dipartimento di Scienze Agrarie, Forestali e Alimentari - Università degli Studi di Torino

Tutte le accessioni (1)

- Incrocio Dalmasso XII/40 - Dipartimento di Scienze Agrarie, Forestali e Alimentari - Università degli Studi di Torino

Cloni omologati

Nessun clone disponibile per

Profilo microsatellite standardizzato

loci:	loci predefiniti (9)																	
locus SSR:	VVS2		VVMD5		VVMD7		VVMD27		VrZAG62		VrZAG79		VVMD25		VVMD28		VVMD32	
allele:	A1	A2	A1	A2	A1	A2	A1	A2	A1	A2	A1	A2	A1	A2	A1	A2	A1	A2
dimensione:	151	151	225	225	247	257	185	189	194	196	245	251	250	270	237	249	241	273

Immagini



germoglio



foglia



foglia pagina superiore



foglia pagina inferiore



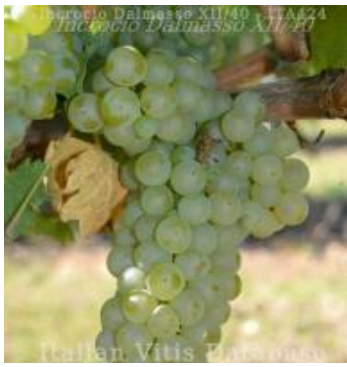

grappolo



acino

Ampelografia

OIV	descrizione	valore		immagini
004	Giovane germoglio: densità dei peli striscianti dell'apice	3	bassa	
007	Germoglio: colore del lato dorsale degli internodi	1	verde	
008	Germoglio: colore del lato ventrale degli internodi	1	verde	
016	Germoglio: numero di viticci consecutivi	1	2 o meno	
051	Foglia giovane: colore della pagina superiore del lembo (4 a foglia)	2	giallo	
053	Foglia giovane: densità peli striscianti tra le nervature principali della pagina inferiore (4a foglia)	5	media	
067	Foglia adulta: forma del lembo	4	orbicolare	
068	Foglia adulta: numero dei lobi	1 / 2 (Ø 3)	uno (foglia intera) / tre	
070	Foglia adulta: distribuzione pigmentazione antocianica nervature principali pagina superiore	1	assente	
075	Foglia adulta: bollosità della pagina superiore del lembo	3 / 5	bassa / media	
076	Foglia adulta: forma dei denti	2 / 5	entrambi i lati rettilinei / misto tra entrambi i lati rettilinei (livello 2) e entrambi i lati convessi (livello 3)	
079	Foglia adulta: grado di apertura / sovrapposizione dei bordi del seno peziolare	3 / 7	aperto / sovrapposto	
080	Foglia adulta: forma della base del seno peziolare	3 / 1	a V / a U	
081-1	Foglia adulta: denti del seno peziolare	1	assenti	
081-2	Foglia adulta: base del seno peziolare delimitata dalla nervatura	1	non delimitata	
083-2	Foglia adulta: denti nei seni laterali superiori	1	assenti	
084	Foglia adulta: densità dei peli striscianti tra le nervature principali sulla pagina inferiore del lembo	3	bassa	
087	Foglia adulta: densità dei peli eretti sulle nervature principali della pagina inferiore del lembo	5 / 7	media / elevata	
151	Fiore: organi sessuali	3	stami completamente sviluppati e gineceo completamente sviluppato	

155	Tralcio: fertilità delle gemme basali (gemme 1-3)	5	media (1,1-1,3)	
202	Grappolo: lunghezza (escluso il peduncolo)	3	corto	
204	Grappolo: compattezza	7 / 9	compatto / molto compatto	
208	Grappolo: forma	1	cilindrico	
220	Acino: lunghezza	1 / 3	molto corto / corto	
221	Acino: larghezza	3	stretto	
223	Acino: forma	1	sferoidale schiacciato ai poli	
225	Acino: colore della buccia	1	verde giallo	
236	Acino: particolarità dell'aroma	1 / 5	nessuna / aroma diverso da moscato, foxy o erbaceo	
241	Acino: sviluppo dei vinaccioli	3	completo	

Note ampelografiche

Il profilo del lembo può essere piano od a coppa con margini contorti.

Ampelometria

OIV

nessun descrittore presente per Incrocio Dalmasso XII/40

Superampelo

distanze		
descrittore	valore	deviazione standard
Distanza tra estremità di N2 e estremità della prima ramificazione laterale di N2	21.700	6.080
Distanza tra estremità di N2' e estremità della prima ramificazione laterale di N2'	23.010	7.102
Distanza dal seno peziolare al seno inferiore destro	27.640	3.775
Distanza dal seno peziolare al seno inferiore sinistro	28.260	2.775
Distanza dal seno peziolare al seno superiore destro	30.450	7.496
Distanza dal seno peziolare al seno superiore sinistro	31.320	6.376
Nervatura N3, lunghezza dal seno peziolare alla nervatura N4	6.370	1.219
Nervatura N3', lunghezza dal seno peziolare alla nervatura N4'	5.870	1.233
Lunghezza della nervatura N5	8.330	1.926
Lunghezza della nervatura N5'	8.350	2.612
Lunghezza della nervatura N4	20.940	2.462
Lunghezza della nervatura N4'	21.750	2.252
Larghezza della foglia	74.660	5.695
Lunghezza della foglia	78.010	6.130
Lunghezza del picciolo	38.860	4.932
Lunghezza della foglia compreso il picciolo	94.920	4.699
Distanza tra gli estremi delle nervature N2 e N2'	67.940	7.732
Lunghezza della nervatura N1	56.070	2.883
Distanza tra gli estremi delle nervature N4 e N4'	35.460	7.106
Distanza tra gli estremi delle nervature N3 e N3'	71.930	5.107
Lunghezza della nervatura N2	48.670	5.471
Larghezza del seno peziolare / Distanza tra i punti SP e SP'	-11.520	3.152
Lunghezza della nervatura N3	36.110	3.508
Lunghezza della nervatura N2'	49.145	3.696
Lunghezza della nervatura N3'	36.510	3.104

angoli		
descrittore	valore	deviazione standard
Angolo tra N1 e N2 misurato alla prima biforcazione	57.590	4.914
Angolo tra N2 e N3 misurato alla prima biforcazione	51.870	3.124
Angolo tra N1 e N2' misurato alla prima biforcazione	60.300	6.688
Angolo tra N3 e N4 alla prima biforcazione di N3	57.970	5.123
Angolo tra N2' e N3' misurato alla prima biforcazione	53.850	9.404
Angolo tra N1 e N2 misurato agli estremi delle nervature	41.830	10.319
Angolo tra N3' e N4'	59.440	6.871
Angolo tra N2 e N3 misurato agli estremi delle nervature	51.550	11.493
Angolo tra N1 e N2' misurato agli estremi delle nervature	46.040	8.777
Angolo tra N3 e N4 misurato agli estremi delle nervature	41.970	4.568
Angolo tra N2' e N3' misurato agli estremi delle nervature	49.550	7.551
Angolo di apertura del seno peziolare misurato a SP e SP'	58.680	16.776
Angolo tra N3' e N4' misurato agli estremi delle nervature	44.300	4.052
Angolo tra S e S' con centro in N1	60.410	23.117
Angolo tra D e D' con centro in N1	103.000	16.973
Angolo tra I e I' con centro in N1	53.910	6.829

rapporti		
descrittore	valore	deviazione standard
Media della base dei denti del lato sinistro	5.256	1.049
Media della base dei denti del lato destro	5.147	1.377
Media dell'altezza dei denti del lato sinistro	3.236	0.614
Rapporto tra l'altezza e la base del dente all'estremità della nervatura N4'	0.951	0.213
Media dell'altezza dei denti del lato destro	3.131	1.094
Rapporto tra Lunghezza e larghezza della foglia	1.046	0.049
Rapporto tra la somma degli angoli a' + b' e la somma della distanza tra il seno peziolare e il seno superiore sinistro OS' e il seno peziolare e il seno inferiore sinistro OI'	0.034	0.006
Rapporto tra la somma degli angoli a + b e la somma della distanza tra il seno peziolare e il seno superiore destro OS e il seno peziolare e il seno inferiore destro OI	0.034	0.007
Rapporto tra l'altezza e la base dei denti del lato sinistro	0.620	0.056
Rapporto tra l'altezza e la base dei denti del lato destro	0.591	0.094
Rapporto tra l'altezza e la base del dente all'estremità della nervatura N2'	0.923	0.182
Rapporto tra l'altezza e la base del dente all'estremità della nervatura N2	0.950	0.304
Rapporto tra l'altezza e la base del dente all'estremità della nervatura N4	0.927	0.216